МУЛЬТИФРАКТАЛЬНЫЙ АНАЛИЗ ВИДОВОЙ СТРУКТУРЫ БИОТИЧЕСКИХ СООБЩЕСТВ

Д.И. Иудин $^{(1)}$, Д.Б. Гелашвили $^{(1)}$, член-корреспондент РАН Г.С. Розенберг $^{(2)}$

(1) Нижегородский государственный университет им. Н.И. Лобачевского, Нижний Новгород, ecology@unn.ac.ru (2) Институт экологии Волжского бассейна, РАН, Тольятти, ecolog@attac.ru

УДК 574.5

Самоподобие является весьма общим свойством природных систем: бассейны крупных рек, ветвящиеся каналы молниевого разряда, пространственная структура колоний микроорганизмов, распределение звездного вещества в космосе – все эти и многие другие сильно неравновесные системы, связанные, так или иначе, с переносом интенсивных потоков вещества, заряда, энергии, – обладают удивительной структурной универсальностью. Часто в этой связи говорят о фрактальности природных объектов [1, 2].

В настоящем исследовании мы обратимся к анализу самоподобия видовой структуры биотических сообществ. На фоне физических проявлений фрактальности биоценозов [3, 4] проблема самоподобия видовой структуры весьма специфична. Дело в том, что, если физические проявления самоподобия очевидным образом соотносятся с самоподобием соответствующих геометрических носителей, - ручейков, каналов, пространственно-временных распределений и т.д., то структурные особенности внутренних энергетических каналов и иерархия связей биотических сообществ остаются скрытыми от глаз: они не имеют непосредственных геометрических образов инвариантных относительно преобразований масштаба. Тем не менее, они демонстрируют самоподобие при изменении численности сообщества. Одним из первых этот фундаментальный факт отметил Маргалеф [5]. Именно он указал на степенную зависимость числа видов S от численности сообщества N

$$S = N^k, (1)$$

где $0 \le k \le 1$ — было предложено рассматривать как индекс разнообразия. Выражение (1) показывает, что видовая структура сообщества инвариантна относительно преобразования его численности. Величину k можно трактовать как соответствующую фрактальную размерность: число элементов видовой структуры — число видов сообщества — меняется по степенному закону с показателем k при увеличении размеров системы, т.е. с ростом численности сообщества.

Однако, как и любая фрактальная размерность, индекс k не дает исчерпывающего количественного представления о видовой структуре биотического сообщества: выражение (1) констатирует лишь сам факт наличия вида в выборке, но не содержит, например, сведений о распределении видов по численности или о степени их доминирования. Наиболее общее описа-

ние внутреннего устройства самоподобных объектов позволяет дать теория мультифракталов, характеризуемых бесконечной иерархией размерностей [6].

Целью настоящей работы является исследование возможностей мультифрактального анализа для выявления закономерностей (в частности, самоподобия) видовой структуры биотических сообществ. В основе подхода лежит использование относительных частот распределения особей по видам $p_i=N_i/N$, где N_i - число особей i-ого вида, N - размер пробной выборки, а i пробегает значения от единицы до полного числа видов S(N), обнаруженных в пробе. Очевидно, что $\sum_{i=1}^S p_i = 1$. Введем моменты распределения особей по видам и выясним характер их асимптотического поведения при увеличении численности N:

$$M_q(N) = \sum_{i=1}^{S} p_i^q = N^{\tau(q)},$$
 (2)

где $-\infty \leq q \leq \infty$ — называется порядком момента, а показатель $\tau(q)$ характеризует скорость изменения соответствующего момента при увеличении размера выборки. Второе равенство в выражение (2) является обобщением формулы Маргалефа (1) и совпадает с последней при q=0.

Обобщенной размерностью D_q (обобщенной размерностью Реньи) распределения называется функция порядка момента q, вводимая определением [6]:

$$D_q = \lim_{N \to \infty} \left\{ \frac{1}{1 - q} \frac{\ln M_q(N)}{\ln N} \right\} = \frac{\tau(q)}{1 - q}.$$
 (3)

На практике величины (3) можно оценить используя несколько различающихся значений N по более простой формуле:

$$D_q = \frac{1}{1-q} \frac{\ln M_q(N)}{\ln N}.$$
 (4)

Для q = 0 результат очевиден:

$$D_0 = k = \frac{\ln S(N)}{\ln N}. (5)$$

Можно показать, что для q = 1:

$$D_1 = \frac{-\sum_{i=1}^{S} p_i \ln p_i}{\ln N} = \frac{H}{\ln N},$$
 (6)

где $H = -\sum_{i=1}^S p_i \ln p_i$. есть ни что иное как информационный индекс видового разнообразия Шеннона-Уивера [7]. Для q=2:

$$D_2 = -\frac{\ln C}{\ln N} \tag{7}$$

$$\frac{1}{C} = N^{D_2},\tag{8}$$

где $1/C=D_S=1/\sum_{i=1}^S p_i^2$ – известный в экологической литературе индекс видового разнообразия Симпсона [8, 12].

В качестве объекта исследований асимптотического поведения моментов распределения особей по видам в работе рассматривались основные экологические группы водных организмов – фитопланктона, зоопланктона и макрозообентоса, 12-ти городских озер Нижнего Новгорода и крупных равнинных водохранилищ на примере Чебоксарского [11]. На рис.1 представлены результаты применения соотношения (4) при q = -1; 0; 1; 2 на материале, собранном для макрозообентоса за весь вегетационный период 2000го года. Выборки с большим значением N были получены сложением результатов нескольких независимых проб меньшего размера (складывались значения численностей видов N_i , где индекс i пробегал полный реестр видов обнаруженных во всех анализируемых пробах). Из рис. 1 видно, что, во-первых, условия самоподобия (1), (2) хорошо выполняются для анализируемого сообщества и, во-вторых, точность определения обобщенных размерностей D_q быстро увеличивается с ростом размера выборки (численности особей в пробе).

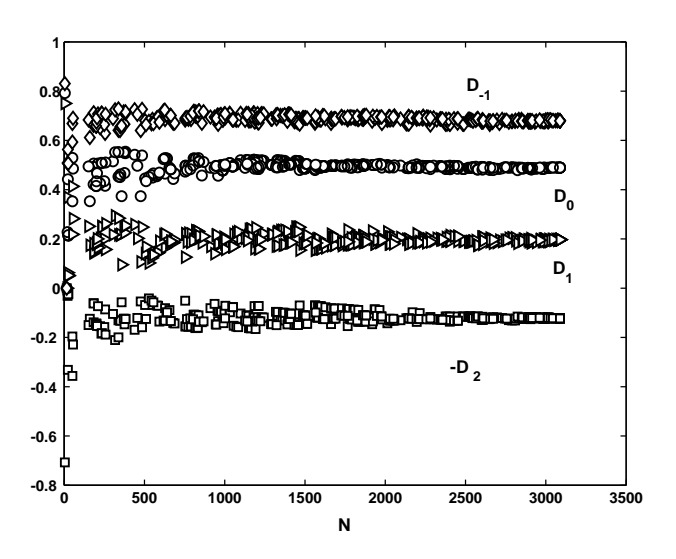


Рис. 1. Вычисление значений обобщенных размерностей Реньи по асимптотическому поведению моментов распределения особей макрозообентоса по видам при увеличении численности N пробных выборок. \diamondsuit – моменты порядка q=-1; \bigcirc – моменты порядка q=0; \triangleright – моменты порядка q=2.

Используя соотношение (4) можно получить весь спектр обобщенных размерностей D_q для любых q в интервале от $-\infty$ до ∞ . Характерный вид зависимости $D_q(q)$ представлен на рис. 2 для четырех замеров по макрозообентосу за вегетационный период 2000-го года. Видно, что функция $D_q(q)$ является не возрастающей: $\cdots \geq D_{-1} \geq D_0 \geq D_1 \geq D_2 \cdots$. Равенство достигается лишь в случае равнопредставленности видов.

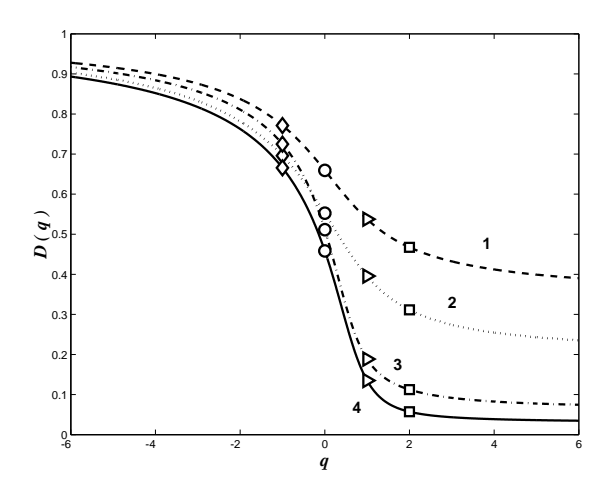


Рис. 2. Величина обобщенных размерностей Реньи видового распределения макрозообентоса городских озер как функция порядка момента. Номера графиков отвечают взятию проб в мае, июне, июле и августе 2000-го года. \Diamond — соответствуют моментам порядка q=-1; \Diamond — моментам порядка q=0; \triangleright — моментам порядка q=1; \square — моментам порядка q=2, см. рис. 1.

Таким образом, обобщенные размерности практически не зависят от численности сообщества и являются своеобразными структурными инвариантами однотипных систем отличающихся друг от друга размерами.

В отличие от них, часто используемые индексы Симпсона (C,D_S) и Шеннона (H) зависят и от численности и от числа видов: $D_S=1/C=N^{D_2}=S^{D_2/D_0}$ и $H=D_1\ln N=D_1\ln S/D_0$. Следовательно, сами по себе, они не могут охарактеризовать разнообразия всего сообщества в целом и требуют дополнительной нормировки. Так, например, разделив индекс Шеннона на логарифм числа видов, получим индекс эквитабильности Пиелу [9], который уже не зависит от числа видов и инвариантен относительно роста размеров системы:

$$E = \frac{H}{\ln S} = \frac{D_1}{D_0} \tag{9}$$

В случае с индексом видового разнообразия Симпсона D_S , нормировка его логарифма на логарифм числа видов дает новый индекс разнообразия σ , который также является инвариантом:

$$\sigma = \frac{\ln(1/C)}{\ln S} = E \frac{D_2}{D_1} = \frac{D_2}{D_0}.$$
 (10)

Обобщенную размерность D_2 называют в теории фракталов корреляционной размерностью [10], поэтому индекс разнообразия σ можно назвать корреляционным инвариантом. Заметим, что каноническая форма индекса эквитабильности Симпсона D_S/S инвариантом не является:

$$\frac{D_S}{S} = \frac{N^{D_2}}{S} = N^{D_2 - k}. (11)$$

Непосредственной проверкой легко убедиться в том, что каждый из всего бесконечного множества инвариантов вида D_q/D_0 , представляет собой индекс эквитабильности, и меняется в пределах от нуля

(для хемостата) до единицы (в случае равнопредставленности видов). Заметим, что индекс Маргалефа k (впрочем, как и все обобщенные размерности D_q) достигает единицы только при S=N.

Перейдем от переменных q и $\tau(q)$ к новым переменным с помощью преобразования Лежандра:

$$\begin{cases} a(q) &= \frac{d}{dq}\tau(q) \\ f(a(q)) &= qa(q) + \tau(q) \end{cases}$$
 (12)

Переменная a ("индекс сингулярности") и неотрицательная функция f(a) ("спектр сингулярностей") дают представление о мультифрактальности структуры сообщества полностью эквивалентное представлению через q и $\tau(q)$. На рис. 3 показана эволюция мультифрактальных спектров видового распределения макрозообентоса городских озёр в период с мая по август 2000-го года. Экстремум спектра $f_{max} = f(a(q))$

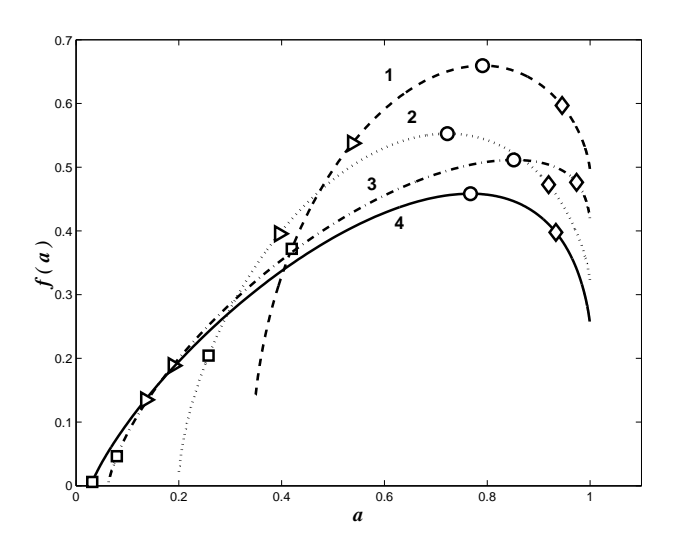


Рис. 3. Мультифрактальный спектр сингулярностей. Условные знаки соответствуют обозначениям рис. 2

0)) = k совпадает с индексом разнообразия Маргалефа и соответствует монофрактальной размерности распределения. Правые ветви кривых на рис. 3 соответствуют отрицательным q. Они систематически короче левых. Такой вид спектров объясняется вкладом в сумму в выражении (2) видов с минимальной численностью: при больших отрицательных величинах порядка момента их вклад становится определяющим, подавляя влияние других элементов структуры.

В случае равнопредставленности видов спектральная функция f(a) стягивается в точку лежащую на прямой f(a)=a.

Существует еще одна характерная точка $a_H = a(q=1)$ кривой f(a):

$$\frac{d}{da}f(a)\big|_{a=a_H} = 1, (13)$$

в которой прямая, проведенная через начало координат под углом 45° к положительному направлению оси a, касается кривой f(a). В этой точке значения индекса сингулярности и спектральной функции равны

друг другу и совпадают с индексом $D_1 = H/\ln N$:

$$f(a_H) = a_H = \frac{H}{\ln N}. (14)$$

На рисунках 2 и 3 обсуждаемые точки отмечены треугольниками.

Индекс сингулярности a характеризует асимптотическое поведение подмножества видов с фрактальной размерностью f(a) при увеличении численности. Он показывает насколько быстро убывает удельное число представителей данного вида при увеличении суммарной численности N:

$$p_i(N) \propto N^{a_i}. (15)$$

Чем меньше a_i , тем медленнее это убывание и тем более представительный вид мы имеем. Размерность f(a) показывает как много видов с данной сингулярностью a_i содержится внутри всего сообщества. Иными словами, f(a) есть размерность подмножества видов с сингулярностью a.

Для учета иерархической структуры сообщества и взаимосвязей между видами предложенное рассмотрение можно перенести из пространства относительных частот в пространство трофических частот $\varphi_i = p_i I_i/I$, где I_i – общий трофический индекс i-ого вида, $I = \sum_{i=1}^S p_i I_i$ - сложность сообщества [12].

Мы видим, таким образом, что видовая структура биотических сообществ может быть количественно описана с помощью мультифрактального формализма. Выявленное при проведеннии анализа самоподобие видовой структуры отражает сложный и самосогласованный характер процессов потребления и распределения ресурсов в сообществе. Важно отметить, что мультифрактальный спектр распределения особей по видам объединяет в себе фрактальные размерности распределения с индексами сингулярности отдельных видов, что существенно расширяет возможности традиционного анализа видового разнообразия. Дальнейшее развитие мультифрактального подхода, в частности, выявление связи между параметрами мультифрактального спектра и абиотическими факторами, является актуальной задачей экологии.

Авторы выражают глубокую признательность А.П. Левичу за полезное обсуждение работы и конструктивные замечания, учтенные авторами при подготовки публикации.

Работа выполнена при поддержке Российского фонда фундаментальных исследований, грант 01-02-17403.

Список литературы

[1] Mandelbrot B.B. Possible refinement of the lognormal hypothesis concerning the distribution of energy dissipation in intermittent turbulence.-In: Statistical Models and Turbulence, eds. M. Rosenblatt and C.Van Atta, Lecture Notes in Physics 12, Springer, New York, pp. 333-351, 1972.

- [2] A. Bunde and S. Havlin (Eds.) Fractals in Science, Springer-Verlag, Berlin, 1994
- [3] *Азовский А.Н.*, *Чернопруд М.В*. Журн. общ. биол. 1998. Т.59.№2.С.117–136.
- [4] *Медвинский А.Б., Петровский С.В., Ти-хонова И.А., Тихонов Д.А.* Формирование пространственно-временных структур, фракталы и хаос в концептуальных экологических моделях на примере динамики взаимодействия популяций планктона и рыбы // УФН, 2002, Т. 172, №1, С. 31- 66.
- [5] *Маргалеф Р.* Облик биосферы.–М.: Наука, 1992.– 254 с.
- [6] *Е. Федер* Фракталы: Пер. с англ.–М.: Мир, 1991.– 214 с.
- [7] *Shannon C., Weaver W.* The Mathematical Theory of Communication. Urbara, Univ. of Illinois Press., 1949. 117p.
- [8] Simpson E.H. Nature, 1949. V. 163. P. 688.
- [9] Pielou E.C. J. Theor. Biol., 1966. V.13. P.131-144.
- [10] *Goltz C.* Fractal and Chaotic Properties of Earthquakes, Springer, 1998.
- [11] Иудин Д.И., Гелашвили Д.Б. Применение мультифрактального анализа структуры биотических сообществ в экологическом мониторинге // Проблемы регионального экологического мониторинга. Материалы научной конференции, Нижний Новгород 2002, С. 49-52.
- [12] Алексеев В.В., Крышев И.И., Сазыкина Т.Г. Физическое и математическое моделирование экосистем.—Санкт-Петербург.: Гидрометеоиздат, 1992.—368 с.